

TI Designs: PMP20176 TPS53647を使用する Intel® Stratix® 10GX FPGA用の4相、140Aリファレンス・デザイン




概要

このリファレンス・デザインでは、Intel®Stratix®10 GX FPGAの駆動に適した、小型で高性能なマルチフェーズ・ソリューションについて、1SG280-11Vバリエーションを中心に解説します。内蔵の PMBus™により、出力電圧を簡単に設定でき、主要な設計パラメータを遠隔で測定可能です。この設計により、プログラミング、構成、スマートVID調整、および電源の制御が可能になるとともに、入力と出力の電圧、電流、電力、温度を監視できます。TIの Fusion Digital Power™Designerを使用して、FPGA電力設計のプログラミング、監視、検証、特性評価を行います。

リソース

PMP20176	デザイン・フォルダ
TPS53647	プロダクト・フォルダ
CSD95472Q5MC	プロダクト・フォルダ
Fusion Digital Power Designer	プロダクト・フォルダ



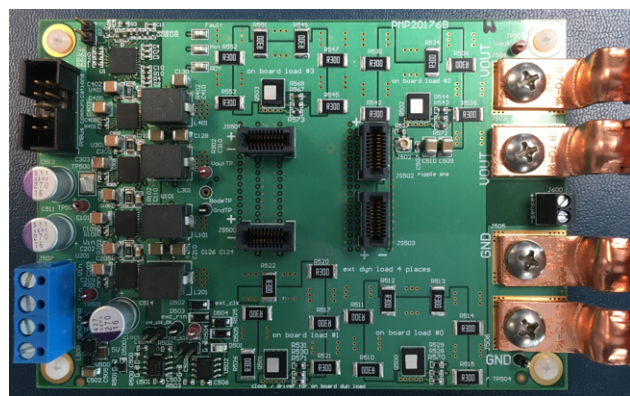
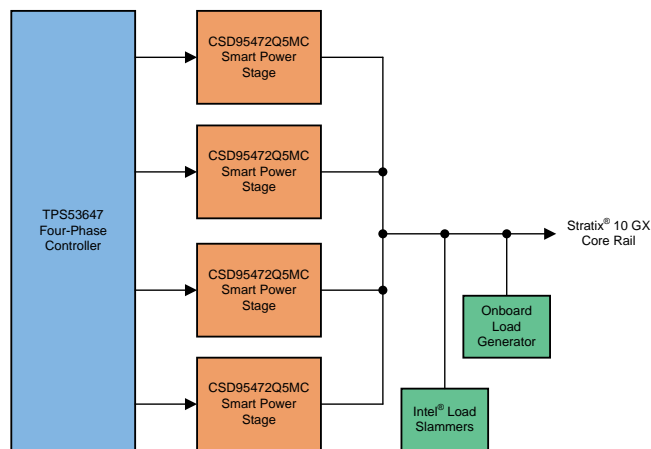
[E2E エキスパートに質問](#)

特長

- すべての出力コンデンサはセラミック製
- D-CAP+™変調器による優れた電流共有能力と過渡応答
- 400kHz、 $V_{IN} = 12V$ 、 $V_{OUT} = 0.9V$ 、 $I_{OUT} = 60A$ においてピーク効率91.5%
- 無気流の状況で非常に優れた熱特性
- 過電圧、過電流、過熱保護機能
- PMBus互換性による出力電圧設定および V_{IN} 、 V_{OUT} 、 I_{OUT} 、温度の遠隔測定
- PMBusおよびピンストラッピングのプログラミング・オプション

アプリケーション

- [FPGAのコア・レール電源](#)
- [イーサネット・スイッチ](#)
- [ファイアウォールとルーター](#)
- [テレコムおよびベースバンド装置](#)
- [試験および測定機器](#)



使用許可、知的財産、その他免責事項は、最終ページにあるIMPORTANT NOTICE (重要な注意事項)をご参照くださいますようお願いいたします。

1 システム概要

PMP20176は、高効率で電力密度の高いデザインであり、4相の降圧コントローラとTI独自のスマート電力段が搭載され、Intel® Stratix® 10 GX FPGAコア・ルールでの使用に最適化されています。これらのFPGAは一般に、エンタープライズ・スイッチング、テレコム・インフラストラクチャ、テストおよび計測、クラウド・コンピューティング・インフラストラクチャなどの利用率が高い環境で、この設計のような大電流と高速な過渡応答が求められる場合に使用されます。

400kHzのスイッチング周波数により、90.1%の熱設計電流効率が維持され、149kHzの高いクロスオーバー周波数により高速な過渡応答が行われ、安定の問題は発生しません。TPS53647コントローラはD-CAP+™マルチフェーズ変調器を使用して、高速な過渡応答能力と、出力電圧の緊密なレギュレーションを実現しています。D-CAP+変調器は、設計の4つの位相間で信頼性の高い電流平衡化を行い、広い範囲の動作条件にわたって安定性を実現するとともに、制御ループの簡単なtype-II補償を行います。さらに、TPS53647はこの設計で使用されているCSD95472のようなTIスマート電力段と互換性があり、高効率の統合された電流モニタリング回路用の、最適化されたドライバ-FETソリューションを実現します。これらのスマート電力段により、レイアウトの面積が削減され、外付けの電流センシング部品が不要になります。

より消費電力の低いStratix 10 GX FPGAを使用する場合や、別の出力コンデンサの混在が求められる場合は、WEBENCH®Designerで設計を変更できます。

1.1 主なシステム仕様

表 1. 主なシステム仕様

パラメータ	仕様
入力電源	12V ±10%
公称出力電圧	0.9V
DCレギュレーション	<1.2%
DCリップル	最大2%
ACリップル	±5%
最大出力電流	140A
熱設計電流	100A
最大負荷ステップ	500A/μsで75A
位相数	4
スイッチング周波数	400kHz

2 System Overview

2.1 Block Diagram

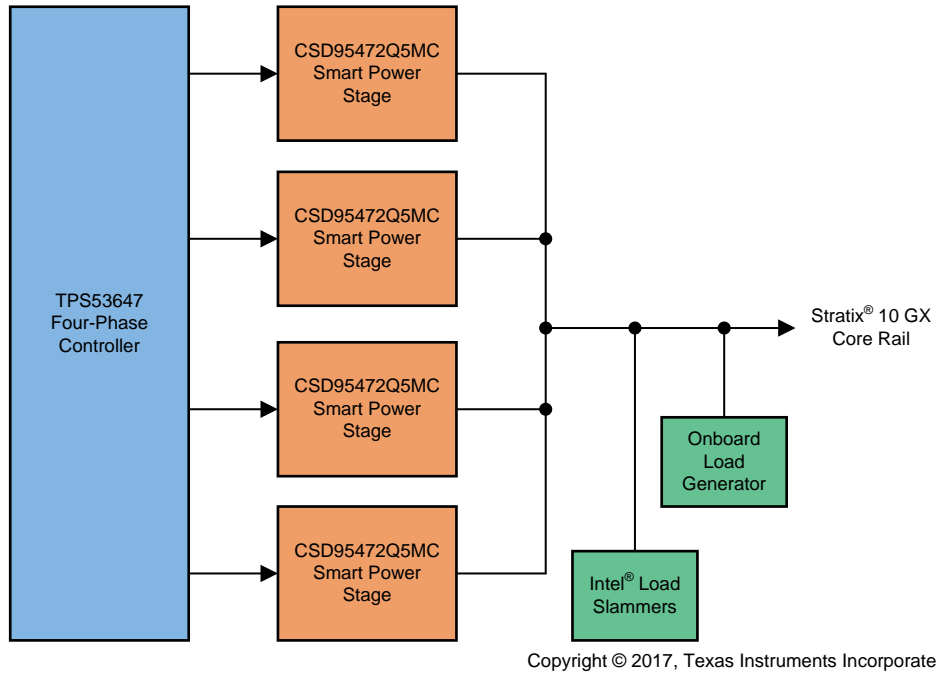


図 1. PMP20176 Block Diagram

2.2 Highlighted Products

2.2.1 TPS53647 – Four-Phase, D-CAP+™ Step-Down Buck Controller With NVM and PMBus™ Interface for ASIC Power and High-Current Point-of-Load

Features:

- 8-bit selectable boot voltage through pinstrap or non-volatile memory (NVM)
- One-, two-, three-, or four-phase operation
- 1.8-V or 3.3-V compatible PMBus™ system interface for fault monitoring and voltage, current, power, and temperature telemetry
- D-CAP+ modulator and eight independent levels of overshoot and undershoot reduction for excellent transient response
- Adjustable voltage positioning
- Dynamic phase shedding with programmable current threshold
- 6x6-mm, 40-pin, QFN PowerPAD™ integrated circuit package

2.2.2 CSD95472Q5MC – 60-A Synchronous Buck NexFET™ Smart Power Stage With DualCool™ Package

Features:

- 60-A continuous current capability
- Low power loss of 2.3 W at 30 A
- High-frequency operation up to 1.25 MHz
- 3.3-V and 5-V pulse-width modulation (PWM) compatible
- Temperature-compensated bidirectional current sense
- Analog temperature output
- Integrated bootstrap diode and optimized deadtime
- 5-mm x 6-mm SON, low inductance, DualCool™ packaging

3 Getting Started Hardware and Software

3.1 Hardware

The hardware for the design is as follows:

- 12-V supply capable of 20 A
- 5-V supply capable of 1 A
- Function generator capable of pulses with < 1- μ s rise times (optional)
- Oscilloscope with differential and passive probes
- Digital multimeter
- Three 25-A Intel Mini Load Slammers and associated control board (optional)

The function generator must be used if the onboard clock generator is not used to drive the onboard load transient generator. Intel mini load slammers can be used in place of the entire onboard load circuitry if desired.

3.2 Software

This design uses TI's Digital Fusion Power Designer software.

3.3 Test Setup

Figure 2 shows the PMP20176 test setup.

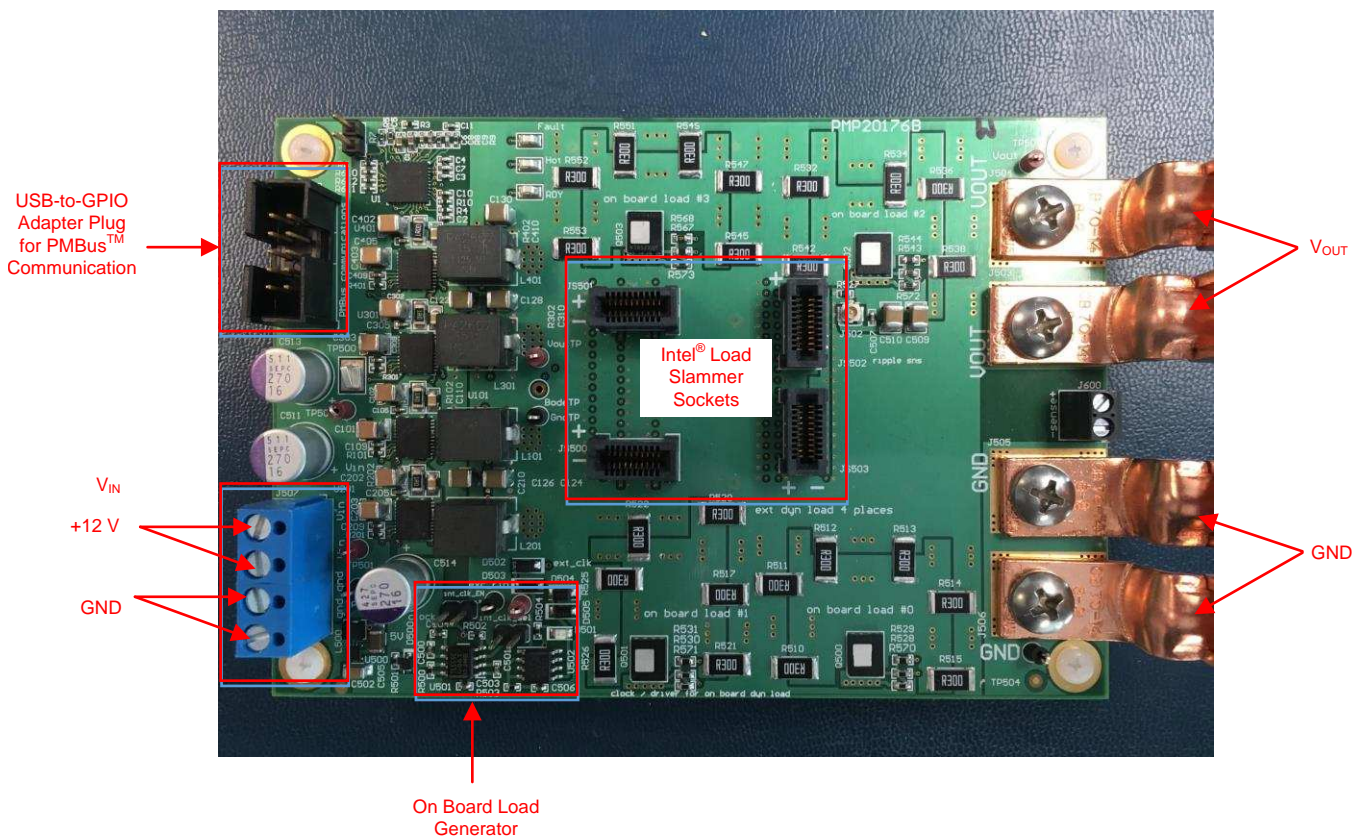


Figure 2. PMP20176 Test Setup

4 Test Results

4.1 Efficiency and Power Loss

Peak efficiencies of 91.9% ($V_{IN} = 10.8\text{ V}$), 91.5% ($V_{IN} = 12\text{ V}$), and 91.1% ($V_{IN} = 13.2\text{ V}$) have been measured for this design, as [Figure 3](#) shows. At a thermal design current (TDC) of 100 A, the efficiencies were 90.3%, 90.1%, and 89.9% for $V_{IN} = 10.8\text{ V}$, 12 V, and 13.2 V, respectively. When the load current is set to the maximum current of 140 A, the efficiency is 87.8% for $V_{IN} = 10.8\text{ V}$, 87.7% for $V_{IN} = 12\text{ V}$, and 87.6% for $V_{IN} = 13.2\text{ V}$. The curve in [Figure 3](#) and [Figure 4](#) includes the losses associated with the 5-V power stage VDD rail as well as the power losses associated with the inductors of each phase.

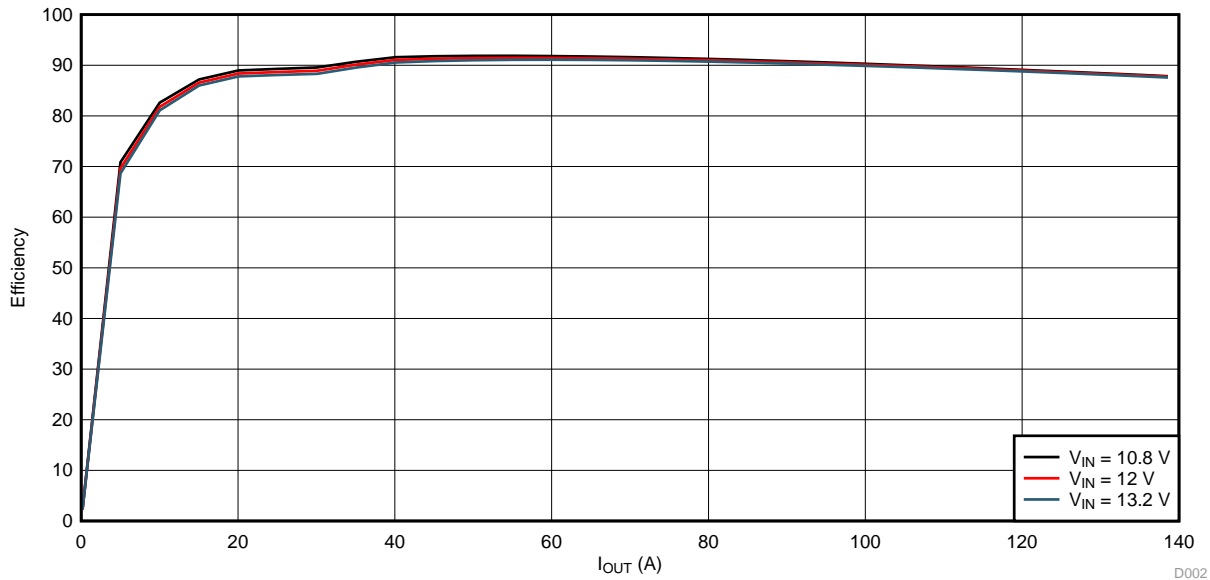


Figure 3. PMP20176 Efficiency Curves: $V_{OUT} = 0.9\text{ V}$, 400 kHz

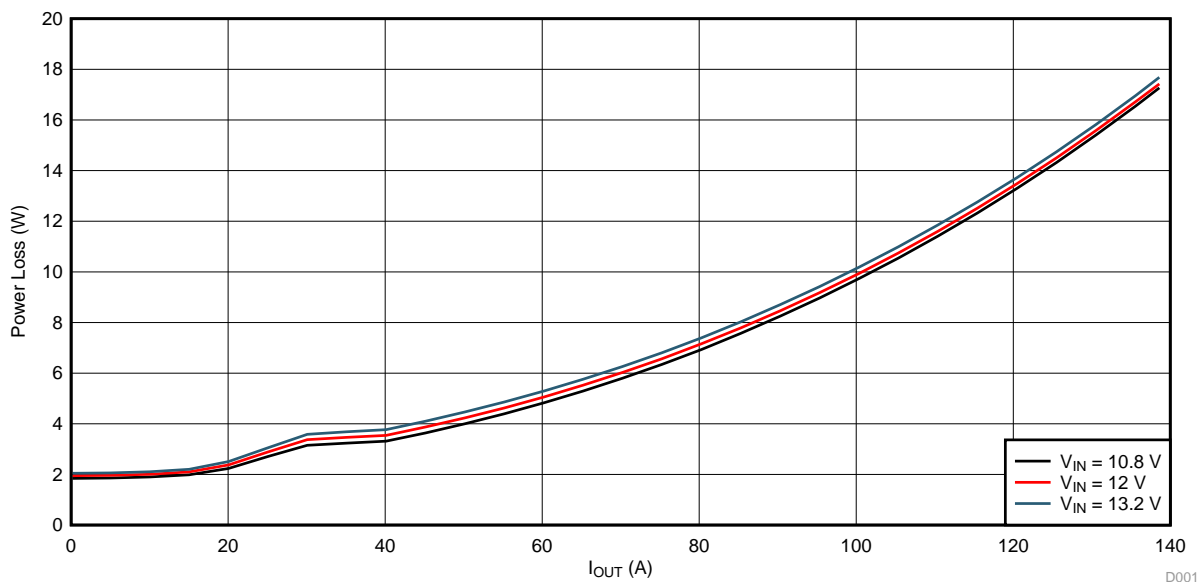


Figure 4. PMP20176 Power Loss Curves: $V_{OUT} = 0.9\text{ V}$, 400 kHz

4.2 Phase Ringing and Loop Stability

To ensure that the power MOSFETs inside the CSD95472 are not being damaged during normal operation, the phase nodes are probed at various output currents to ensure that any ringing is safely within the data sheet limits. No anomalies were observed during testing and [Fig 5](#) shows one such measurement with the load current set to 40 A. A peak voltage of 20.7 V with a duration of < 10 ns is measured, which places the ringing safely within the data sheet limits. [Fig 6](#) provides the results for measuring the switching frequency and shows it to be within the data sheet limits with no double pulsing or excessive jitter, which indicate that the system is stable.

To check the stability further, the control loop bode plot is obtained using a network analyzer with 49° of phase margin being measured at the 149-kHz unity gain frequency (see [Fig 7](#)).

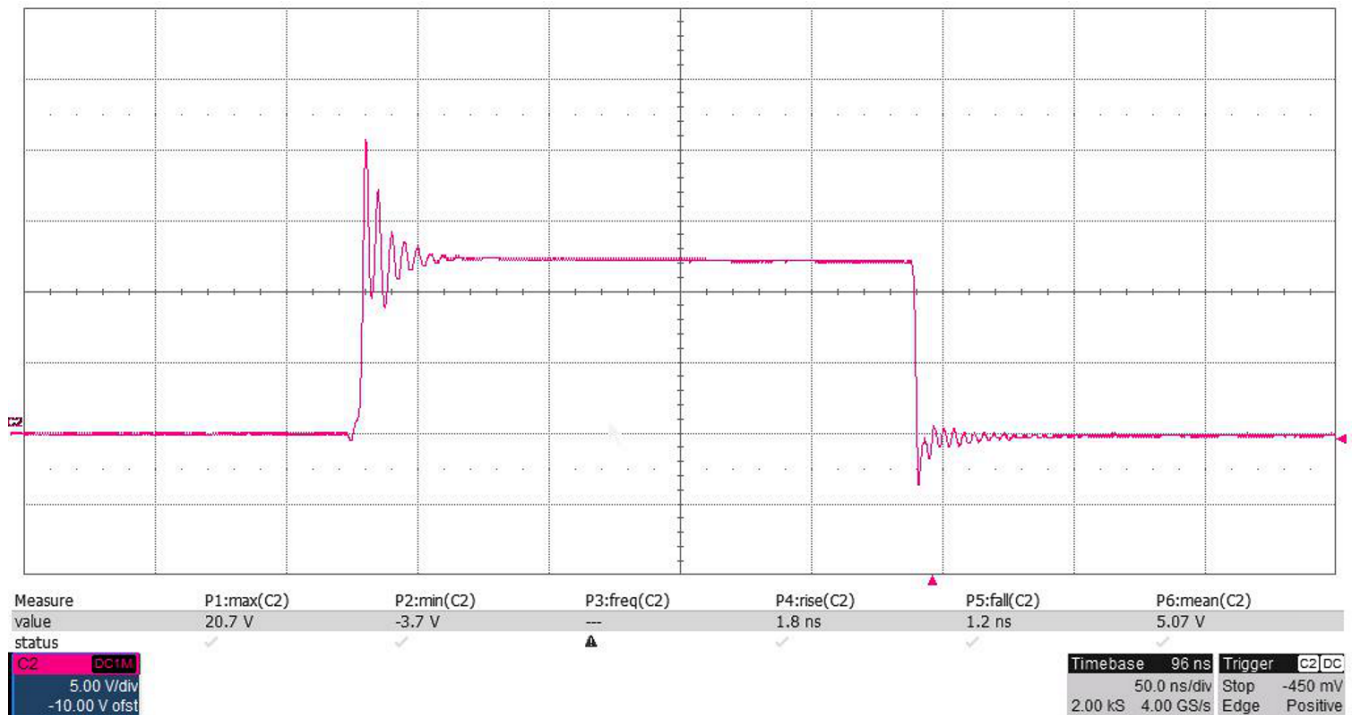


図 5. Phase Node Ringing With 40-A Load

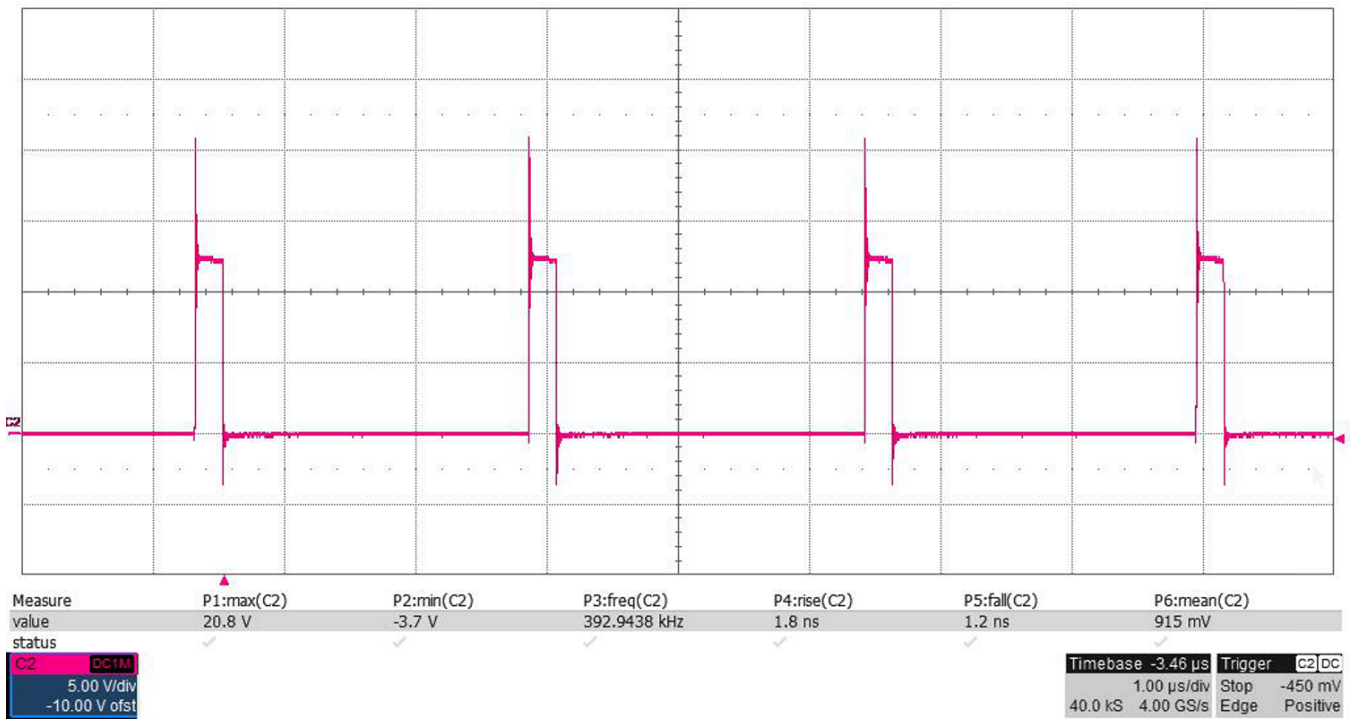


図 6. Phase Node Pulses

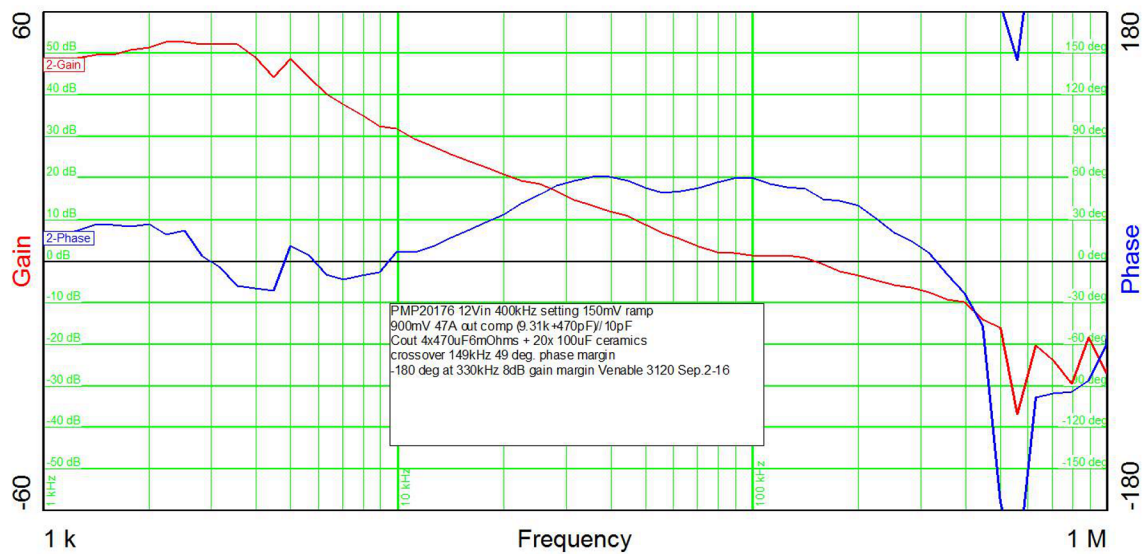


図 7. Bode Plot: 50-A Load, $V_{IN} = 12$ V

4.3 Thermal Performance

The design was placed in a 25°C environment under 100-A and 140-A loads at an output voltage of 0.9 V until it reached thermal equilibrium before taking measurements of the power stages and inductors using an infrared camera. Neither airflow or heatsinks are used at the TDC current to test a worst-case scenario. A setup more closely mimicking an end application was used when the 140-A current was applied.

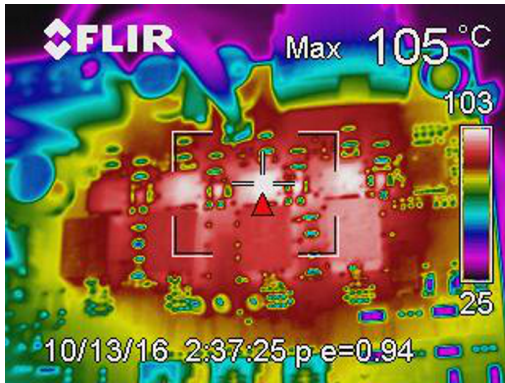


図 8. 100-A Load Thermal Performance, No Airflow

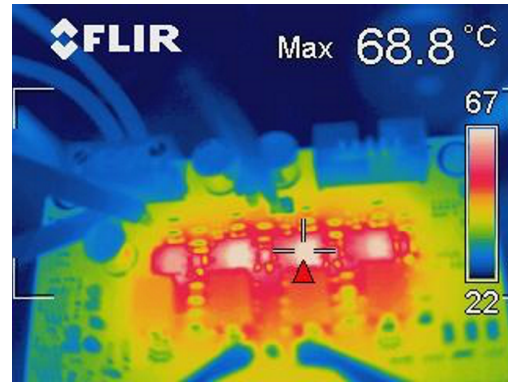


図 9. 140-A Load Thermal Performance, ≈350 LFM

4.4 Transient Response

A load step of 75 A was applied to the TPS53647 regulator under two test conditions. The first test condition is from 4 A to 79 A and the second test condition is from 65 A to the maximum load of 140 A. Under both conditions the load frequency was swept from 1 kHz to 1 MHz to check the stability under a wider range of operational corners. With no DC load line and an AC tolerance of ±5%, a peak-to-peak voltage swing of 90 mVpp is allowed at the nominal output voltage of 0.9 V. No stability issues were observed during testing and the output voltage remained within the regulation window.

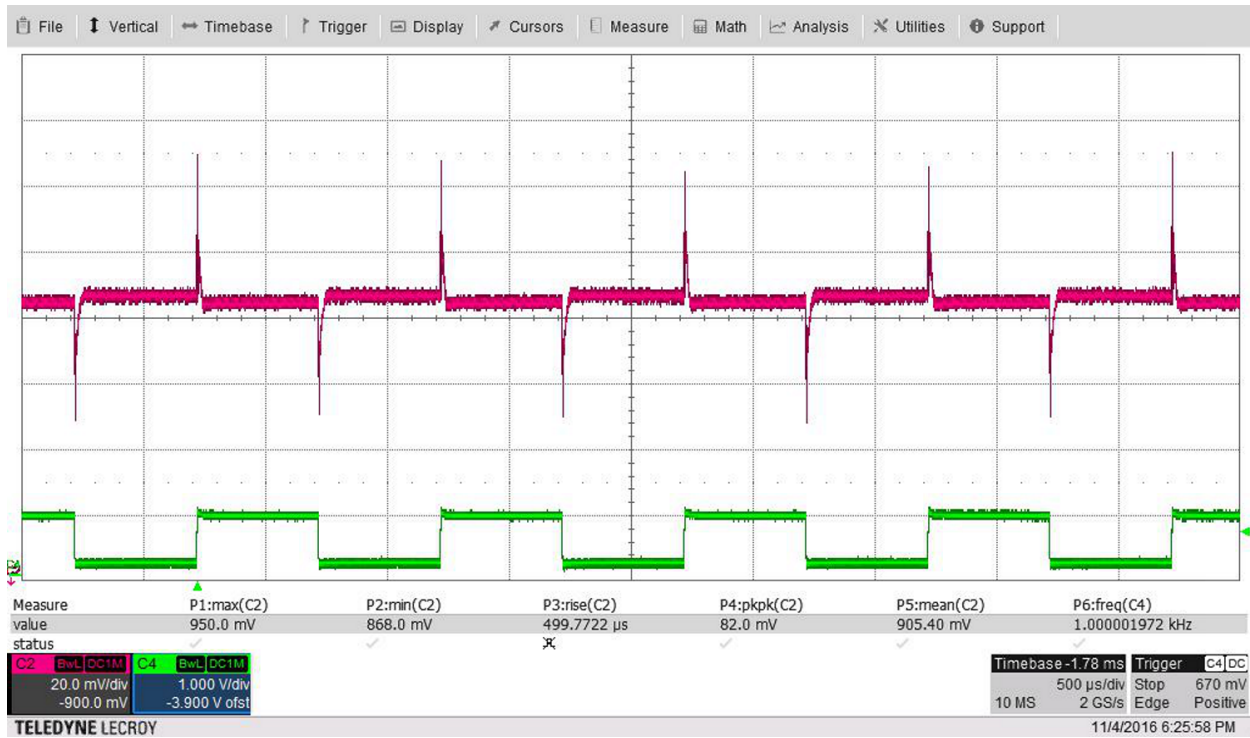


図 10. 4-A to 79-A Transient, 1-kHz Load Frequency

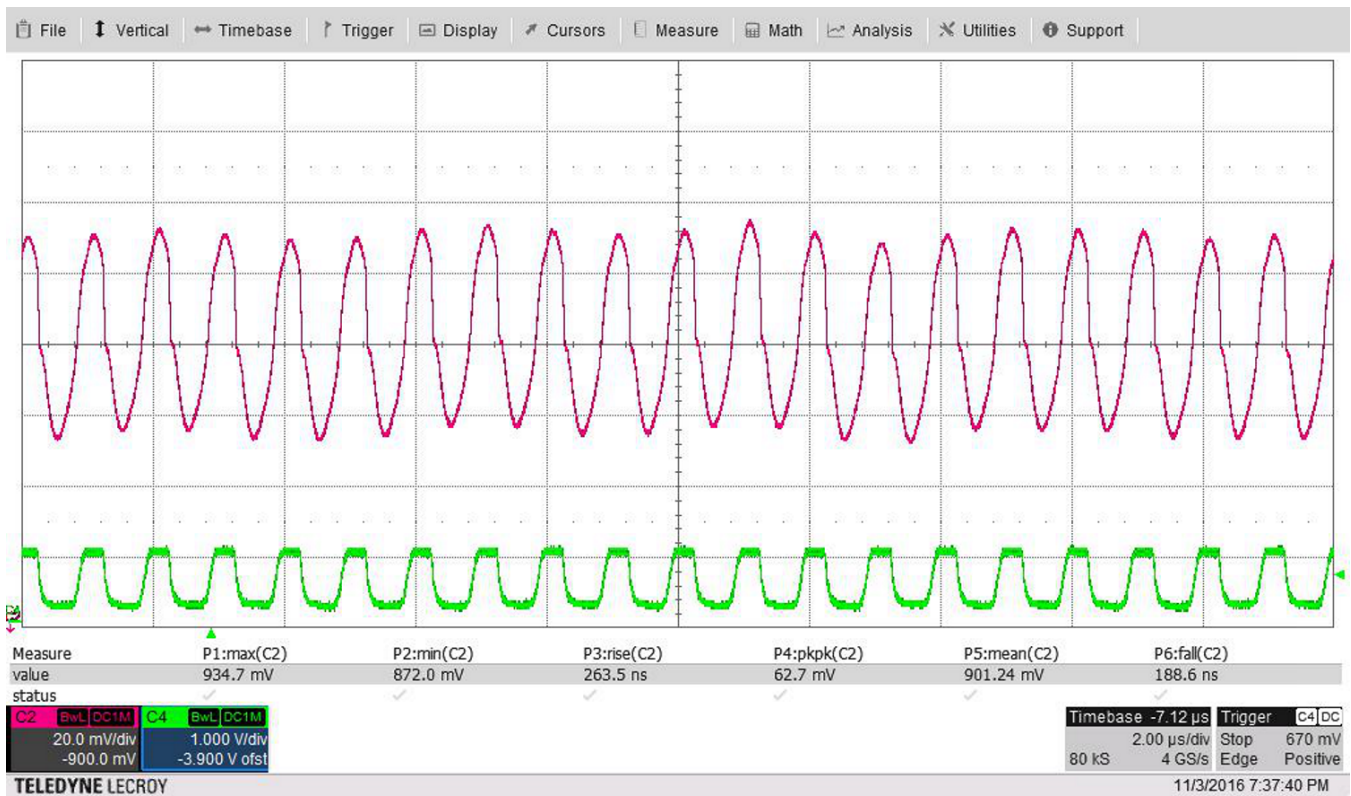


図 11. 4-A to 79-A Transient, 1-MHz Load Frequency

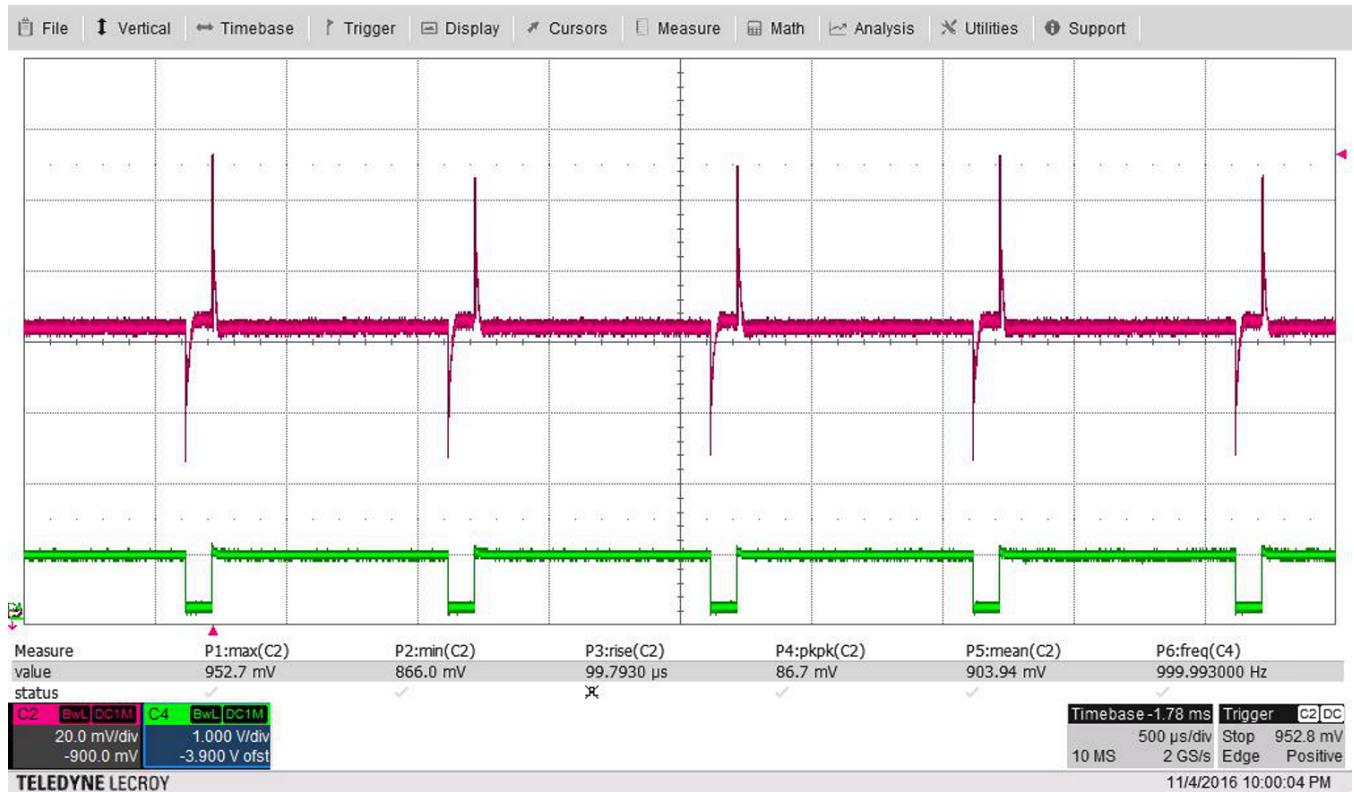


図 12. 65-A to 140-A Transient, 1-kHz Load Frequency

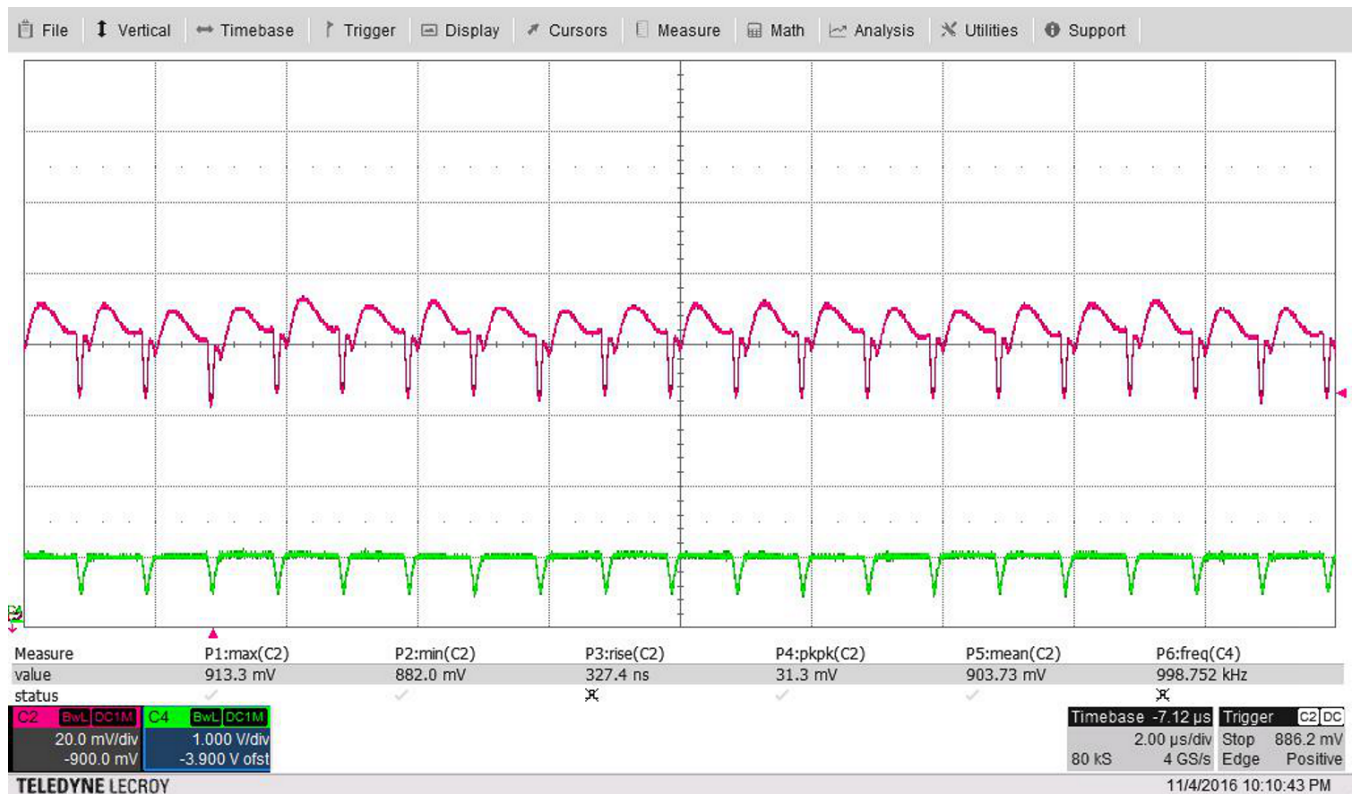


図 13. 65-A to 140-A Transient, 1-MHz Load Frequency

表 2. Transient Response Validation Results

LOAD STEP	TRANSIENT SPECIFICATION AT NOMINAL OUTPUT VOLTAGE	MEASURED RESULTS
4 A to 79 A, 1 kHz	90 mV _{PP}	82 mV _{PP}
4 A to 79 A, 1 MHz	90 mV _{PP}	62 mV _{PP}
65 A to 140 A, 1 kHz	90 mV _{PP}	86.7 mV _{PP}
65 A to 140 A, 1 MHz	90 mV _{PP}	31.3 mV _{PP}

4.5 Start-Up and Shutdown

Start-up and shutdown waveforms were taken at 4-A and 100-A loads while monitoring the enable, output voltage, and power good signals. For the high-current shutdown scenario, V_{OUT} is dragged below ground because the electronic load attached to the output of the regulator tries to maintain the 100-A load. Such behavior does not occur in real applications.

In the following scopeshots, C2 is the Enable signal, C3 is the V_{OUT} signal, and C4 is the PGOOD signal.

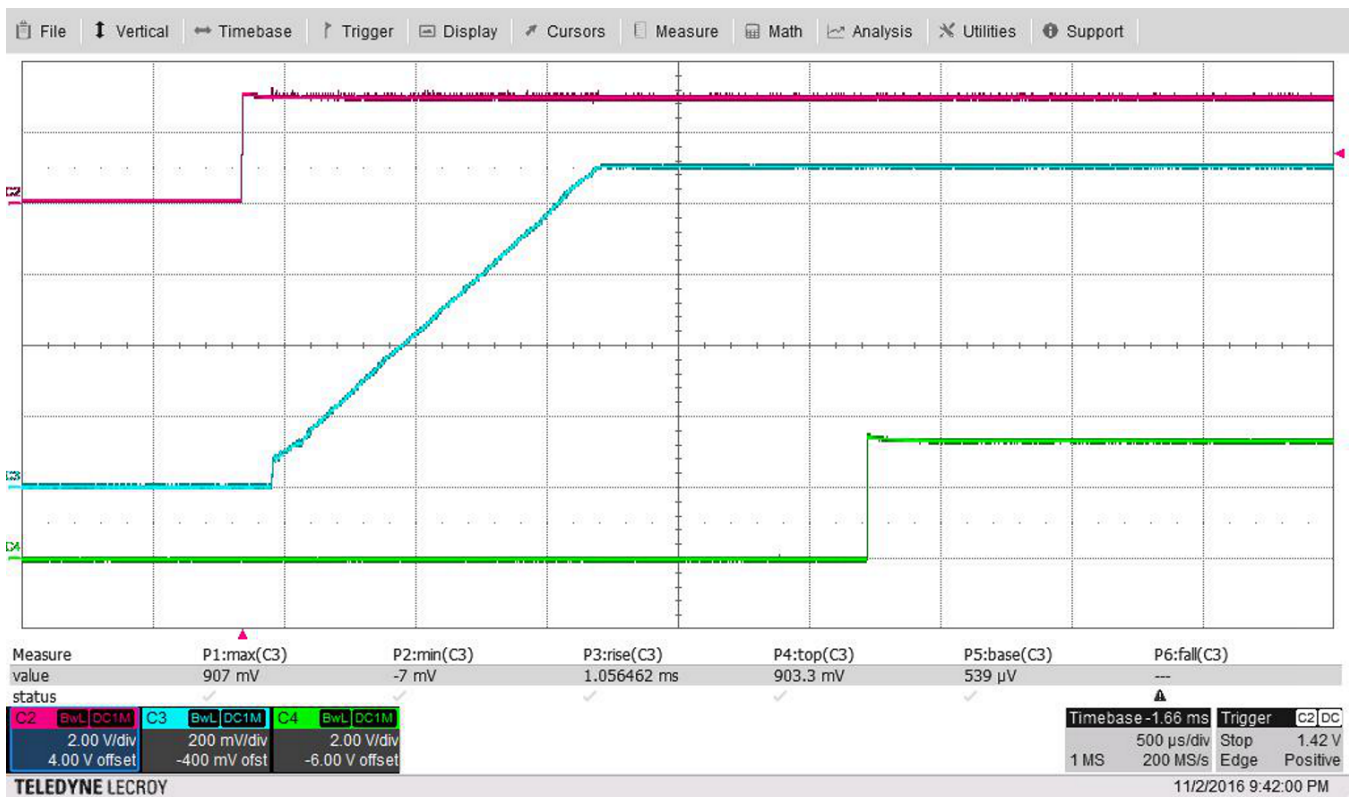


図 14. 4-A Start-Up

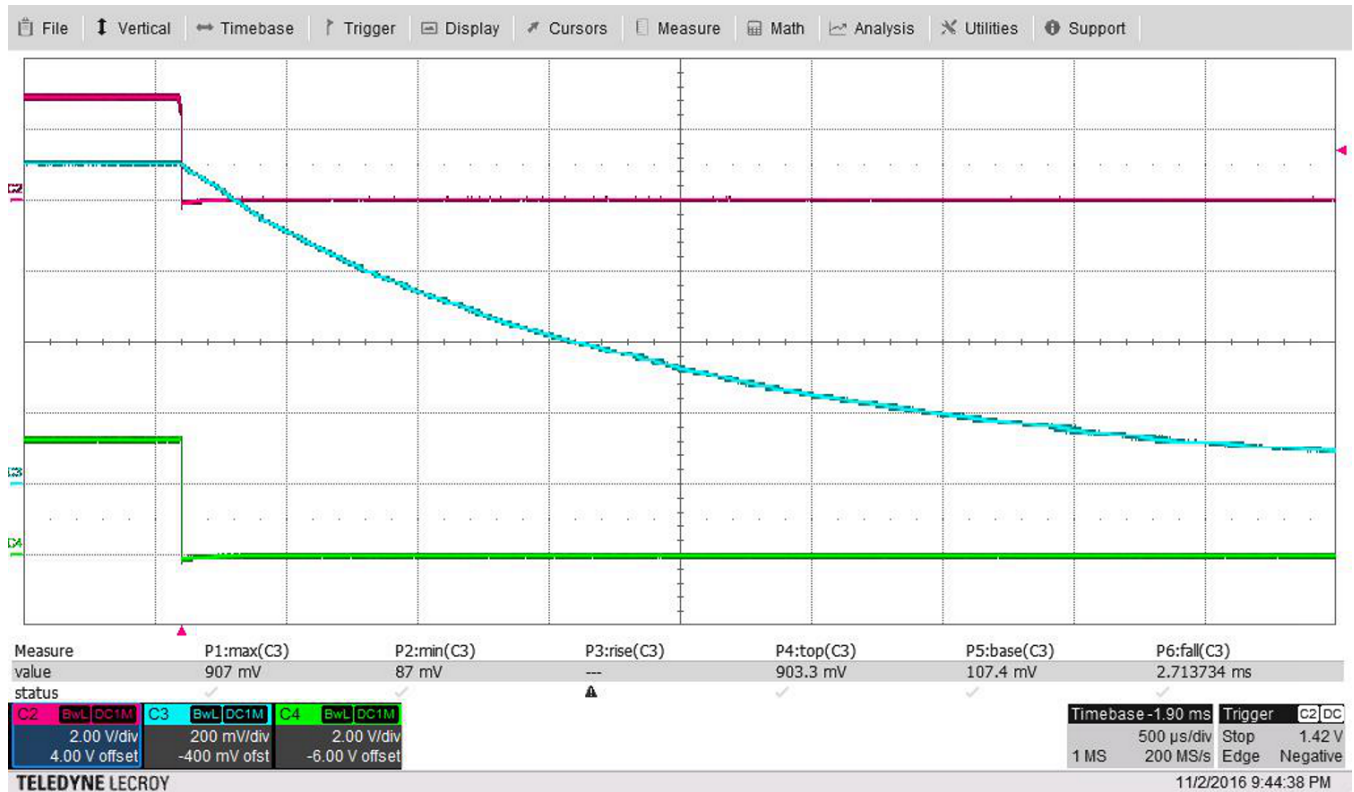


図 15. 4-A Shutdown



図 16. 100-A Start-Up

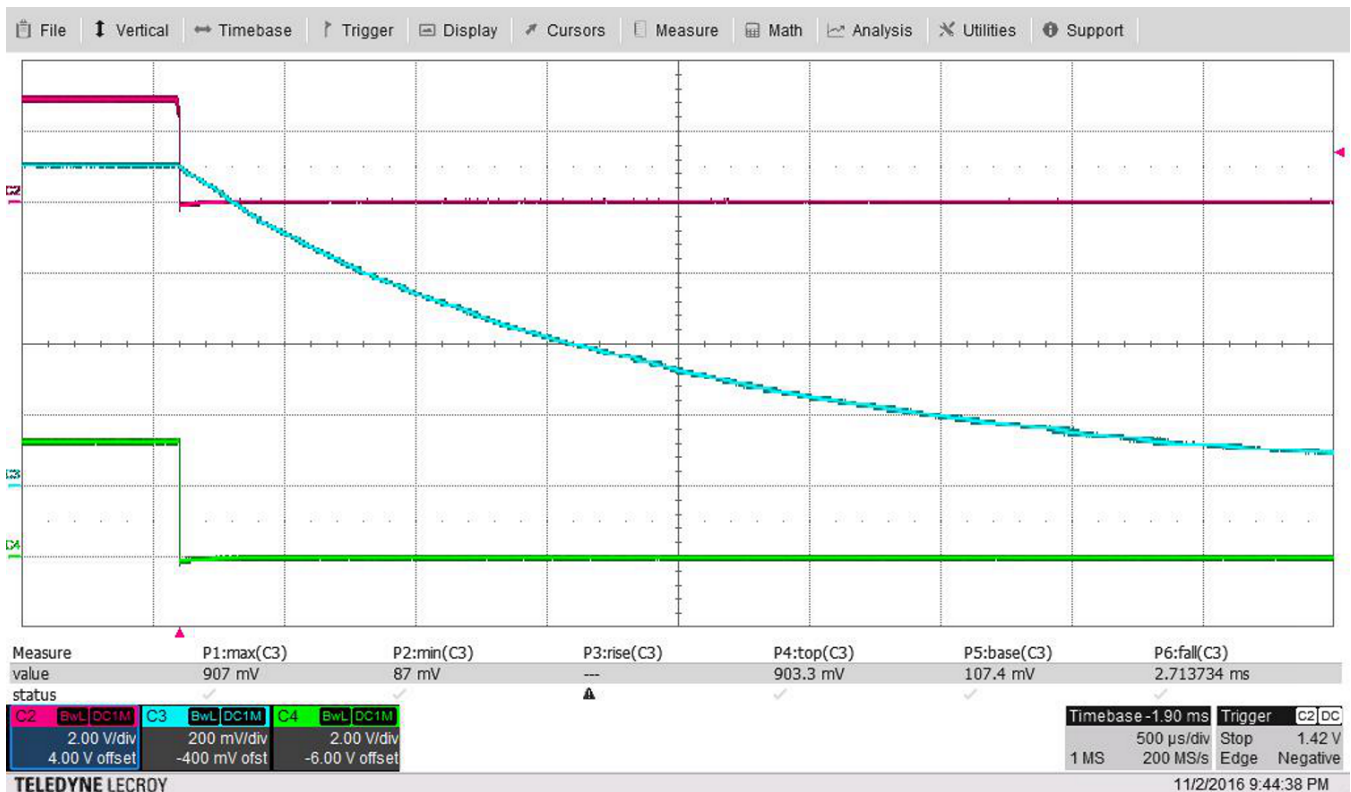


図 17. 100-A Shutdown

4.6 Protection Circuitry

The TPS53647 device also performed admirably when testing the on-chip protection mechanisms for this application. The overcurrent and overtemperature protection features work as intended when triggered and prevent the load and power stages from damage. Upon hitting the overcurrent limit, the controller enters hiccup mode and attempts to restart. 図 18 shows a single shutdown and 図 19 shows the hiccup mode. A successful power-up only occurred after removing the high current. After the overtemperature threshold was crossed, the output voltage decayed to 0 V (according to the load current) until the part had cooled off and a restart was triggered. In 図 20 and 図 21, a recovery time of 12 seconds was observed after the overtemperature fault occurred. For all testing, the PGOOD signal toggles low when the event occurs to signal a fault until V_{OUT} is brought back into regulation.

During overcurrent events, V_{OUT} is dragged below ground because the electronic load attached to the output of the regulator tries to maintain the load. Such behavior does not occur in real applications.

In the following scopeshots, C2 is the V_{OUT} signal and C4 is the PGOOD signal.

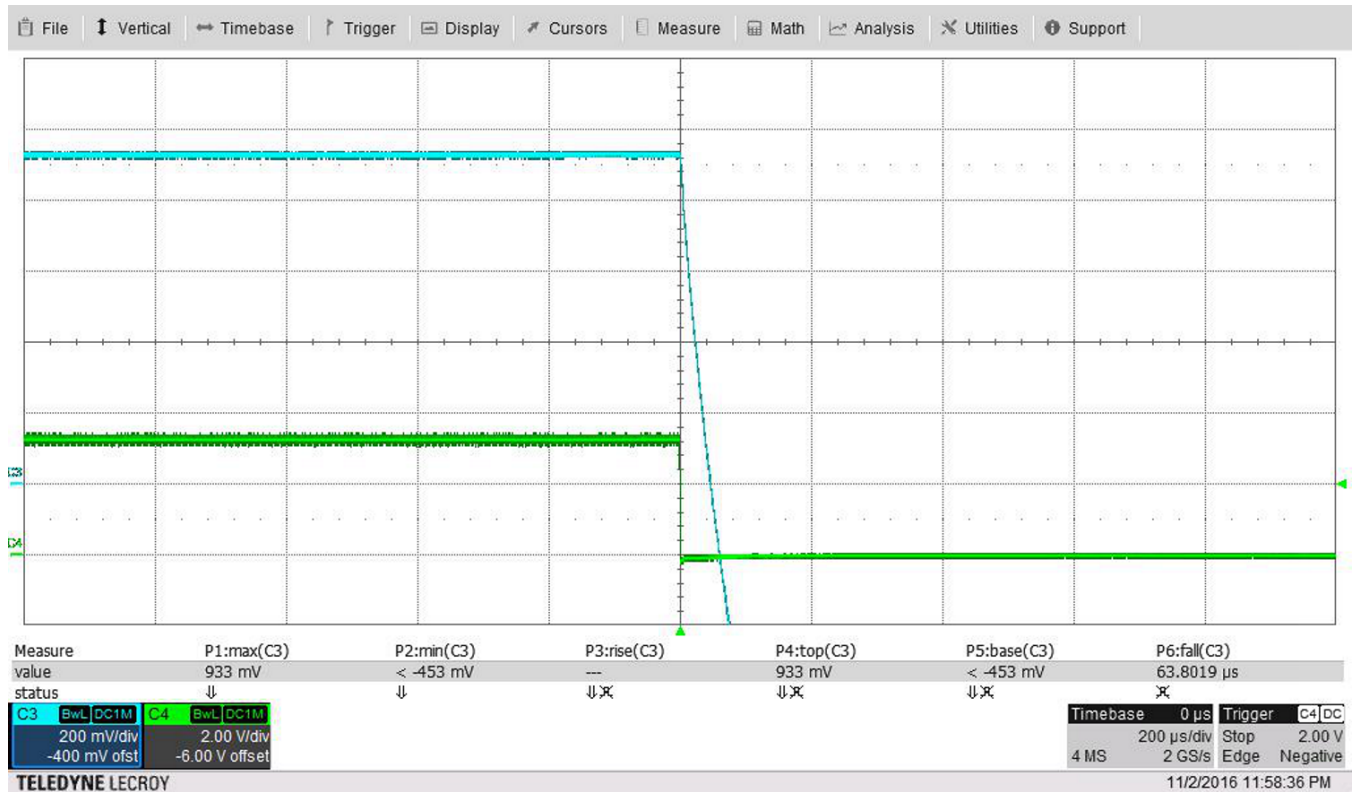


図 18. Single Overcurrent Shutdown

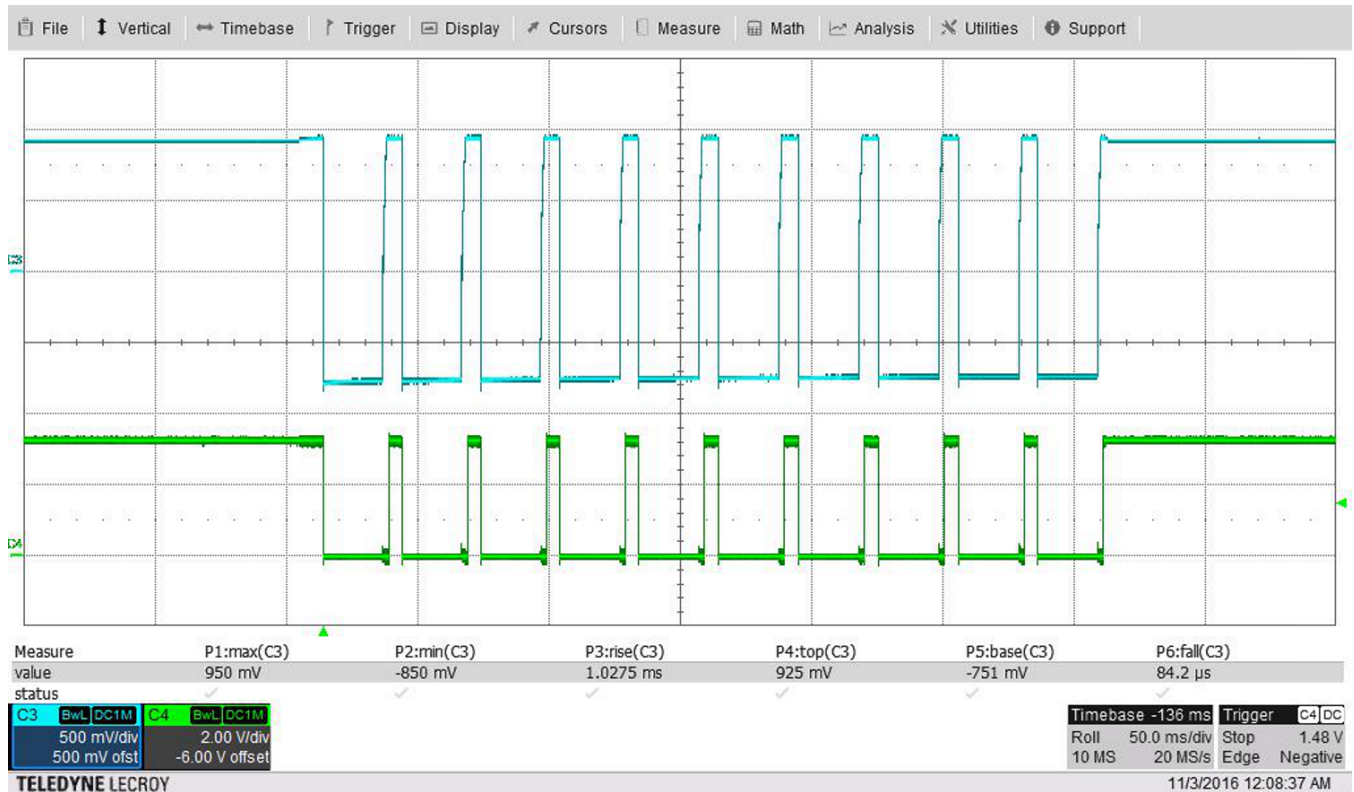
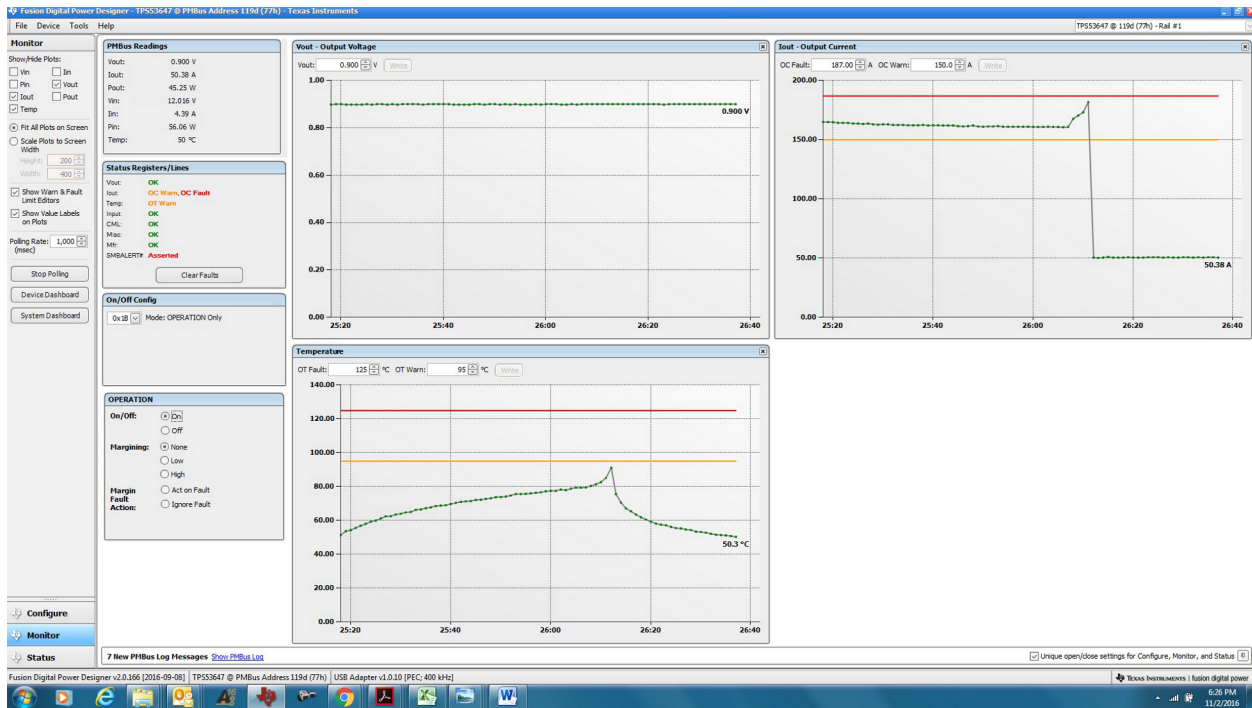
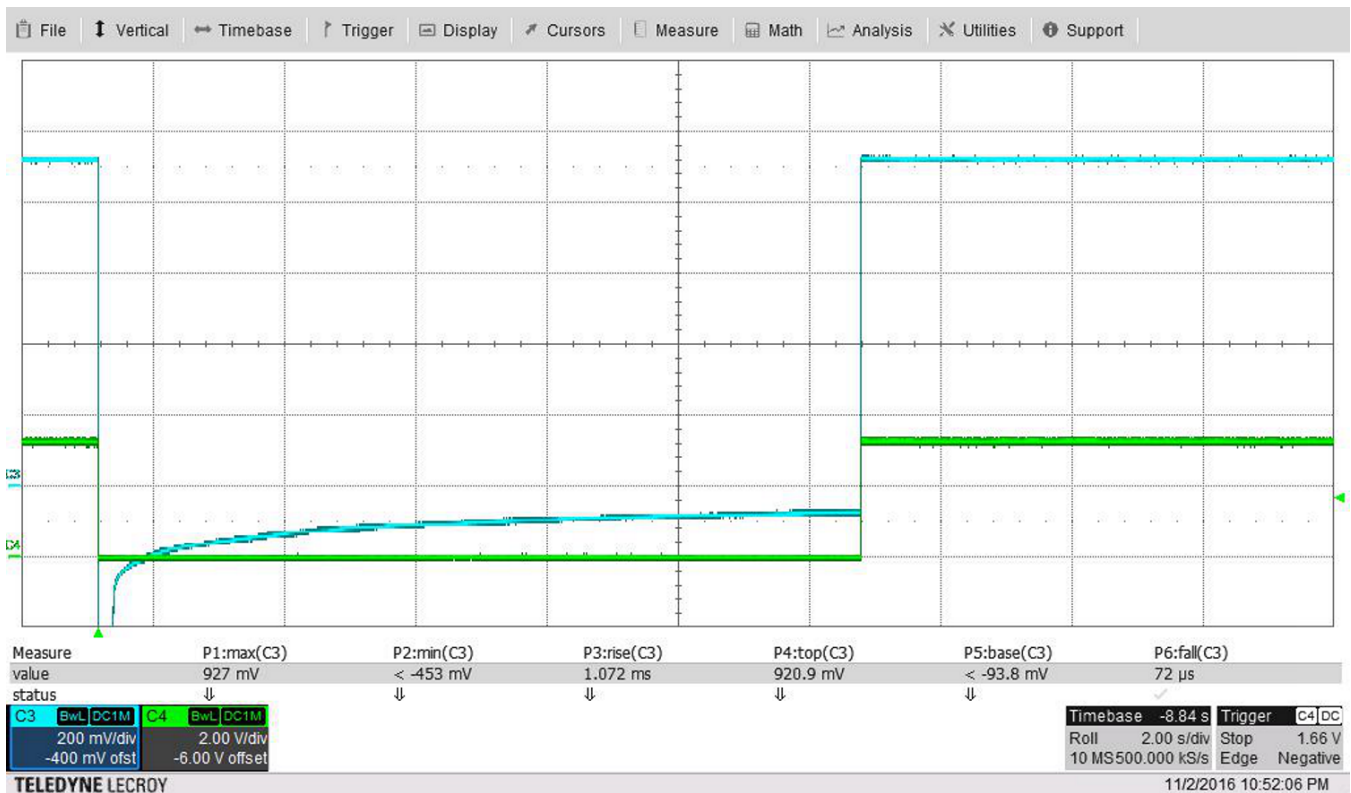


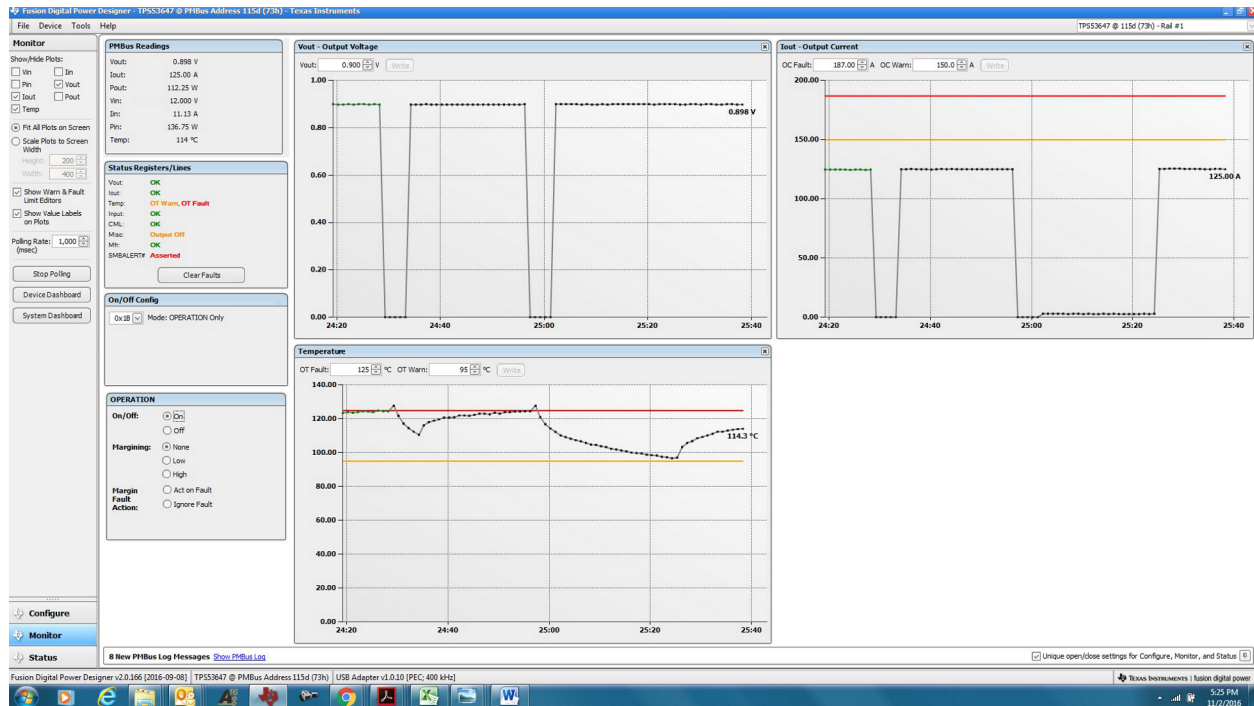
図 19. Overcurrent Shutdown With Hiccup Mode



20. Single Overcurrent Shutdown as Seen in Fusion GUI



21. Overtemperature Shutdown With Recovery



22. Overtemperature Shutdown and Recovery as Seen in Fusion GUI

5 VOUT_COMMAND Alignment Procedure Between FPGA and TPS53647

The TPS53647 supports Intel's VR12.0/12.5 VID (Voltage Identification) tables while Stratix 10 chips support the SmartVID 10-mV step VID table. With the FPGA default settings its VID codes don't match those of the TPS53647. For the testing in this report TI's software and USB-TO-GPIO cable were used so there was no conflict. In a real application however, the FPGA and TPS53647 must be configured properly in order to enable correct output voltage positioning between devices.

1. Ensure the TPS53647 is set up to use the Intel VR12.5 VID Table through either the correct pin-strap resistor or via NVM programming
 - a. See Section 7.5 on page 31 of the controller datasheet for more information on programming the TPS53647
2. Using Intel's Quartus Prime Software, configure the FPGA to use the PMBus Direct Format
 - a. Contact Intel support for the procedure if exact steps are needed
3. Set the proper Direct Coefficients (M, B, and R) to select the correct scaling and offset values such that the SmartVID block of the FPGA follows the VR12.5 VID Table
 - a. $M = 0x0064$ (100d), $B = 0xFFCF$ (-49d), $R = 0x0000$ (0d)
 - b. Note VID Code 0 (0.00V) is not supported
 - c. Refer to Table 1 on page 25 of the TPS53647 datasheet for the VR12.5 VID Table

6 Design Files

6.1 Schematics

To download the schematics, see the design files at [PMP20176](#).

6.2 Bill of Materials

To download the bill of materials (BOM), see the design files at [PMP20176](#).

6.3 PCB Layout Recommendations

Follow all the layout instructions as specified in the respective data sheet for each part when laying out a design using the TPS53647 controller and CSD95472 Smart Power Stage. Some other guidelines to consider include:

- Keep the layout for all four phases identical to ensure optimal current balancing and thermal performance between phases.
- Route noisy traces such as PWM and the PMBus lines on a separate layer than the sensitive analog sense lines such as VSP, VSN, COMP, IMON, and so forth.
- Use quality capacitors for both the input and output decoupling to obtain the maximum performance possible with respect to DC ripple and transient response. Capacitors must be voltage rated to at least 16 V on V_{IN} and 2.5 V on V_{OUT} with a dielectric rating of X5R or better.
- Ensure that the VOUT and GND nodes are routed on multiple layers of copper and connected with enough vias to handle the current requirements for the best thermal performance. Following this guideline allows for the maximum amount of heat to flow out of the power stages and inductors into the board.

6.3.1 Layout Prints

To download the layer plots, see the design files at [PMP20176](#).

6.4 Gerber Files

To download the Gerber files, see the design files at [PMP20176](#).

6.5 Assembly Drawings

To download the assembly drawings, see the design files at [PMP20176](#).

7 Software Files

To download the Fusion Digital Power Designer software, see the following [tool folder](#).

8 Related Documentation

1. Texas Instruments, [TPS53647 4-Phase, D-CAP+, Step-Down, Buck Controller with NVM and PMBus™ Interface for ASIC Power and High-Current Point-of-Load](#), TPS53647 Data Sheet (SLUSC39)
2. Texas Instruments, [CSD95472Q5MC Synchronous Buck NexFET™ Smart Power Stage](#), CSD95472Q5MC Data Sheet (SLPS599)
3. Intel, [Intel® Arria® 10 GX, GT, and SX Device Family Pin Connection Guidelines](#), PCG-01017 (https://www.altera.com/content/dam/altera-www/global/en_US/pdfs/literature/dp/arria-10/pcg-01017.pdf)
4. Intel, [Power Reduction Features in Arria 10 Devices](#), AN-711 (https://www.altera.com/content/dam/altera-www/global/en_US/pdfs/literature/an/an711.pdf)
5. Intel, [SmartVID Controller IP Core User Guide](#), UG-SVID (https://www.altera.com/content/dam/alterawww/global/en_US/pdfs/literature/ug/ug_smartvid.pdf)
6. Intel, [25A Mini Slammer](#), Product Page (https://designintools.intel.com/25A_Mini_Slammer_p/q6uj9a00ms25.htm)

8.1 商標

Fusion Digital Power, D-CAP+, PowerPAD, DualCool are trademarks of Texas Instruments.
WEBENCH is a registered trademark of Texas Instruments.
Intel, Stratix are registered trademarks of Intel Corporation.
PMBus is a trademark of SMIF, Inc.

改訂履歴

資料番号末尾の英字は改訂を表しています。その改訂履歴は英語版に準じています。

Revision A (November 2017) から Revision B に変更 Page

- 5 追加..... 17
-

2017年8月発行のものから更新 Page

- Stratix® 10 FPGAを、SG2800-11Vの代わりに1SG280-11Vバリエーションを使用するように指定を更新..... 1
-

重要なお知らせと免責事項

TI は、技術データと信頼性データ (データシートを含みます)、設計リソース (リファレンス・デザインを含みます)、アプリケーションや設計に関する各種アドバイス、Web ツール、安全性情報、その他のリソースを、欠陥が存在する可能性のある「現状のまま」提供しており、商品性および特定目的に対する適合性の黙示保証、第三者の知的財産権の非侵害保証を含むいかなる保証も、明示的または黙示的にかかわらず拒否します。

これらのリソースは、TI 製品を使用する設計の経験を積んだ開発者への提供を意図したものです。(1) お客様のアプリケーションに適した TI 製品の選定、(2) お客様のアプリケーションの設計、検証、試験、(3) お客様のアプリケーションが適用される各種規格や、その他のあらゆる安全性、セキュリティ、またはその他の要件を満たしていることを確実にする責任を、お客様のみが単独で負うものとします。上記の各種リソースは、予告なく変更される可能性があります。これらのリソースは、リソースで説明されている TI 製品を使用するアプリケーションの開発の目的でのみ、TI はその使用をお客様に許諾します。これらのリソースに関して、他の目的で複製することや掲載することは禁止されています。TI や第三者の知的財産権のライセンスが付与されている訳ではありません。お客様は、これらのリソースを自身で使用した結果発生するあらゆる申し立て、損害、費用、損失、責任について、TI およびその代理人を完全に補償するものとし、TI は一切の責任を拒否します。

TI の製品は、TI の販売約款 (<https://www.tij.co.jp/ja-jp/legal/terms-of-sale.html>)、または [ti.com](https://www.ti.com) やかかる TI 製品の関連資料などのいずれかを通じて提供する適用可能な条項の下で提供されています。TI がこれらのリソースを提供することは、適用される TI の保証または他の保証の放棄の拡大や変更を意味するものではありません。

日本語版 日本テキサス・インスツルメンツ合同会社
Copyright © 2021, Texas Instruments Incorporated